

## 高水準マイクロプログラム記述用言語による エミュレータの記述とその最適化効果<sup>†</sup>

重松保弘<sup>††</sup> 阿南憲子<sup>††</sup> 有川薰<sup>††††</sup>

仮想のスタック・コンピュータ (SC) を用いる PASCAL (P) の処理系は、利用者が SC のシミュレータを作成することにより、容易に利用者の手元の計算機に移植できる有利なシステムであるが、記憶領域と実行時間の点で効率が悪い。そこで、筆者らは、SC のシミュレータをマイクロプログラム ( $\mu$ P) 化することにより SC のエミュレータを作成し、効率の改善を行った。

SC のエミュレータの記述にあたって、高水準  $\mu$ P 記述用言語 MPL 200/II を用いた結果、 $\mu$ P のコーディングとデバッグに要する労力を軽減でき、解読性のよいソース  $\mu$ P リストが得られた。また、MPL 200/II コンパイラにおいて、冗長なマイクロ命令の削除などの最適化に加えて、主記憶のアクセス時間における改良した最適化技法を適用した結果、エミュレータのオブジェクト  $\mu$ P の語数を約 20% 縮小することができた。また、いくつかの PASCAL プログラムを実行した結果、中型計算機上のシミュレータと比較して、エミュレータ化により 3.4~3.6 倍の処理速度が得られた。また、最適化によって、エミュレータの処理速度を、約 1.3 倍に向上させることができた。さらに、コンパイラによって最適化された  $\mu$ P は、人手によって最適化された  $\mu$ P にかなり近いことが確かめられた。

### 1. まえがき

N. Wirth によって設計されたプログラミング言語 PASCAL は、アルゴリズムやデータ構造の記述性に富んでおり、プログラミング教育に適した言語として広く利用されている。PASCAL の処理系も、1971 年に CDC 6000 を対象としたものが作成され、他機種への移植も行われている。これらの処理系におけるコンパイラは、特定の計算機の機械語で記述されており、機械語の目的コードを生成する。これに対して、仮想のスタック・コンピュータ (SC) を設計し、コンパイラによって SC のためのコード (SC コード<sup>\*</sup>) を生成する処理系が作られた。そのコンパイラ自身も SC コードに変換されており、すべての処理は SC のシミュレータによって行われる。この方式による処理系は PASCAL (P) と呼ばれている<sup>2)</sup>。

PASCAL (P) の処理系は、利用者が SC のシミュレータを作成するだけで動作させることができ、比較的、容易に利用者の手元の計算機に移植することができます。

きる有利な方法である。しかし、この処理系はシミュレータを用いていることなどから、記憶領域と実行時間の点で効率が悪いことが指摘されている<sup>4)</sup>。そこで、筆者らは、こうした不利な点を補う方法として、SC のシミュレータをマイクロプログラム ( $\mu$ P) 化することによって SC のエミュレータを開発し、処理系の効率について評価を行った。

また、WCS (Writable Control Storage) をもつ  $\mu$ P 制御方式計算機の普及に伴って、こうしたエミュレータを利用者自身が開発する機会が増えてきたが、その記述には、アセンブリ言語形式の言語が多く用いられている。筆者らは、SC のエミュレータの記述において、高水準  $\mu$ P 記述用言語 MPL 200/II<sup>14)</sup> を用いた結果、 $\mu$ P のコーディングとデバックに要する労力を軽減でき、解読性のよいソース  $\mu$ P を得ることができた。

$\mu$ P の開発に高水準言語を用いるときの問題点は、効率の良いオブジェクトコードが得られるかどうかである。本稿では、MPL 200/II コンパイラにおける、主記憶のアクセス時間の有効利用に関する改良された最適化技法について述べた後、エミュレータの語数および実行時間に関する自動最適化の効果、および人手による最適化との比較結果について述べる。

なお、実現された  $\mu$ P には、SC のシミュレータ以外の部分も含まれるので、実現された  $\mu$ P 全体を PASCAL マシンのエミュレータと呼ぶことにする。

† Description of an Emulator Using a High-level Micro-programming Language and its Optimization Effect by YASUHIRO SHIGEMATSU, NORIKO ANAMI, and KAORU ARIKAWA (Department of Computer Science, Kyushu Institute of Technology).

†† 九州工業大学情報工学科

††† 現在は大分電子計算センター

†††† 現在は日立製作所

\* Pascal-Code とも呼ばれる<sup>2)</sup>。

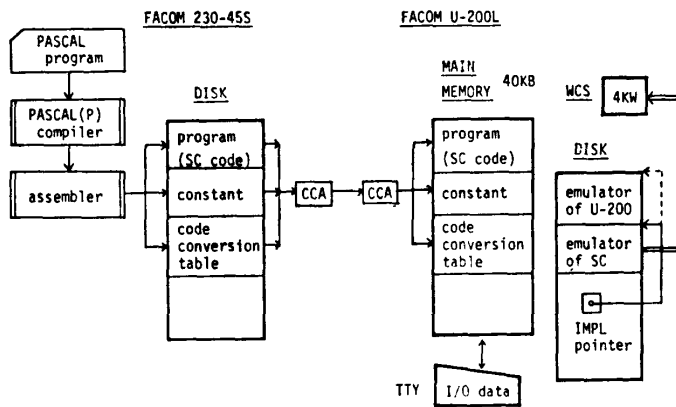


図 1 PASCAL マシンによる PASCAL プログラムの処理過程  
Fig. 1 The execution process of a PASCAL program using the PASCAL machine.

## 2. PASCAL マシンの処理システム

PASCAL マシンの処理システムは、図 1 に示すように、FACOM 230-45 S (45 S) と U-200 L の複合計算機システムになっている。PASCAL プログラムは 45 S 上で、SC の機械語コード (SC コード) と定数に変換され、同時にコード変換表\*が生成される。生成された SC コード等は、チャネル結合装置 (CCA) 経由で U-200 L に転送され、エミュレートされる。

U-200 L のディスクには、数種類の  $\mu$ P が格納されている。その主なものは、U-200 を目的計算機とするエミュレータと PASCAL マシンのエミュレータである。どの  $\mu$ P を WCS へ格納するかは、ディスク中の IMPL\*\* ポインタの値によって決定される。IMPL ポインタの指す  $\mu$ P は、ROS\*\*\* (256 語) に格納された  $\mu$ P によって主記憶を経由して WCS に格納され制御が移される。

### 2.1 スタック・コンピュータの構成

SC を実現するための U-200 L の主記憶のレイアウトと、各領域を管理するためのポインタを図 2 に示す。ポインタは、U-200 L の特定のレジスタに割り付けている。

図 3 に、SC 命令のフィード形式を示す。SC 命令は、基本的には、OP (Operation) 部と P, Q の両オペランド部から構成され、その語長は、通常、固定長

としてインプリメントされる<sup>2)</sup>。しかし、命令によっては、P または Q の一方、あるいは両方をもたない場合がある。そこで、筆者らは、命令に応じて語長を可変にした。大半の命令は 1~2 語長である。CHK 命令のみ 3 語、LDC 命令のうち set を扱うもののみ 5 語とした。インプリメントした SC 命令のニーモニックは、図 6 の SSA 文のラベル部に示されている。

SC の機能については文献 2) および 5) に詳しいので、ここでは省略する。

### 2.2 エミュレータの構成

PASCAL マシンのエミュレータは、SC コード等の受信部と、SC のエミュレータ部に分かれ。前者および後者の  $\mu$ P を実行している状態を、それぞれ、受信状態およびエミュレート状態と呼ぶ。エミュレート状態の  $\mu$ P は、さらに、命令フェッチ、エミュレーションおよびディスプレイパネル操作の各フェイズに分かれる。各  $\mu$ P の処理の概要を図 4 に示す。

また、PASCAL マシンは、SC 命令の実行状態によって、Normal\*, Step\*\*, Display\*\*\*, Store\*\*\*\* のモードをとる。

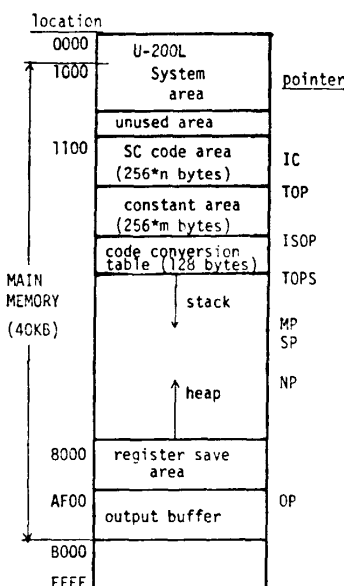


図 2 スタックコンピュータのための  
U-200 L の主記憶の構成

Fig. 2 Main memory layout of U-200 L for the Stack Computer.

\* SC 命令を連続実行する。

\*\* START スイッチを押すことにより 1 命令ずつ実行する。

\*\*\* 指定されたレジスタ等の内容をディスプレイパネルに表示する。

\*\*\*\* エントリスイッチの値を指定されたレジスタ等に格納する。

\* U-200 L のタイプライタの ISO コードと PASCAL の内部コードとのコード変換に用いる。

\*\* Initial Microprogram Load.

\*\*\* Read Only Storage.

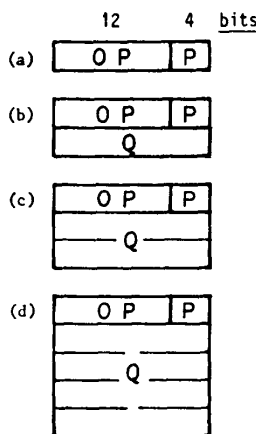


図 3 スタックコンピュータの命令形式  
Fig. 3 Instruction format of the Stack Computer.

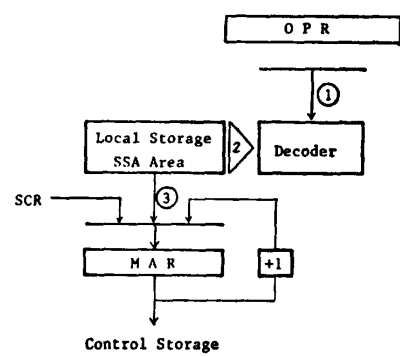


図 5 U-200 L における機能分岐の機構  
Fig. 5 The mechanism of functional branch of U-200 L.

から 1 語が選択され (②), MAR\* に格納される (③). MPL 200/II では、この機能分岐の機構を利用するため SSA 文と SET 文を用意している。SSA 文は、目的計算機の機械コードと、そのエミュレーション・ルーチンの対応関係を保つためのマッピング・テーブルを生成し、SSA 領域に格納するためには用いる。また、SET 文は、機能分岐を起こさせるために用いる。PASCAL マシンのエミュレータの SSA 文を図 6 に示す。また、エミュレーション・ルーチンの一部を図 7 に示す。図 6において、各 SSA 文の右のコメントは、割り当てられた OP コードを示す。

機能分岐は、μP 制御方式特有の多分岐型分岐方式であり、いくつかの高水準 μP 記述用言語には、これを利用するための文が用意されている\*\*。ただ、一般的には、多分岐型の文のオブジェクト μP には、(1)条件分岐型 μI を組合せた μP、(2)無条件分岐型 μI を多段に用いた間接分岐型の μP、(3)機能分岐を利用した μP、などが考えられるため、これらを考慮した文を用意することが望ましい。MPL 200/II では、(1)に対して CASE 文を、(3)に対して SSA 文と SET 文を、それぞれ用意してある。このため、たんなる多分岐か、機械コードによる機能分岐かの区別を明確化できた。

なお、付録に、命令フェッチ・フェイズとディスプレイベンパネル操作フェイズの μP リストを示す。

#### 4. エミュレータの最適化

この章では、MPL 200/II コンパイラにおける最適

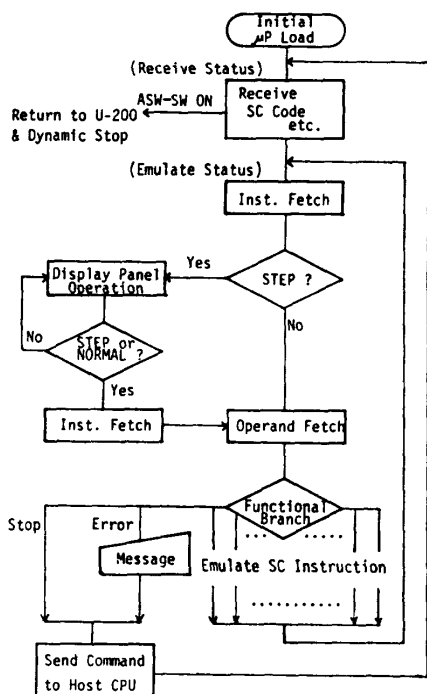


図 4 PASCAL マシンのステータスとフェイズ  
Fig. 4 The status and the phase of the PASCAL machine.

### 3. MPL 200/II によるエミュレータの記述

この章では、エミュレータが、MPL 200/II を用いてどのように記述されるかを示す。

まず、U-200 L における機能分岐(functional branch)の機構について簡単に述べる。機能分岐が指定されると、図 5 に示すように、OPR\* の内容がデコードされ (①)、ついで、ローカルメモリの SSA\*\* 領域 (64 語)

\* Operation Register.

\*\* Set Start Area.

\* Microinstruction Address Register.

\*\* たとえば、Datasab FCPU μP には DO CASE 文、MPGL<sup>6</sup> には CASE 文がある。

```

SSA 0  ERROR;
SSA 1  ERROR;
SSA 2  ERROR;
SSA 3  ERROR;
SSA 4  ERROR;
SSA 5  ERROR;
SSA 6  ERROR;
SSA 7  UNI : /* 0H0 */
SSA 8  STP : /* 1C0 */
SSA 9  STO : /* 1C4 */
SSA 10 S0I : /* 1C8 */
SSA 11 SGS : /* 1CC */
SSA 12 SBI : /* 1D0 */
SSA 13 ODD : /* 1D4 */
SSA 14 NOT : /* 1D8 */
SSA 15 NGI : /* 1DC */
SSA 16 ERROR;
SSA 17 ERROR;
SSA 18 ERROR;
SSA 19 ERROR;
SSA 20 ERROR;
SSA 21 ERROR;
SSA 22 ERROR;
SSA 23 ERROR;
SSA 24 MPI : /* 1E0 */
SSA 25 MOD : /* 1E1 */
SSA 26 IOR : /* 1E2 */
SSA 27 INT : /* 1E3 */
SSA 28 INN : /* 1F0 */
SSA 29 EOF : /* 1F1 */
SSA 30 DV1 : /* 1F2 */
SSA 31 DIF : /* 1F3 */
SSA 32 ANDP : /* 0CO */
SSA 33 ADI : /* 0C1 */
SSA 34 ABI : /* 0C2 */
SSA 35 XJP : /* 0C3 */
SSA 36 UJP : /* 0C4 */
SSA 37 SRO : /* 0C5 */
SSA 38 MOV : /* 0C6 */
SSA 39 LDO : /* 0C7 */
SSA 40 LCA : /* 0CB */
SSA 41 LAO : /* 0C9 */
SSA 42 IXA : /* 0CA */
SSA 43 IND : /* 0CB */
SSA 44 INC : /* 0CC */
SSA 45 FJP : /* 0CD */
SSA 46 ENTP : /* 0CE */
SSA 47 DECP : /* 0CF */
SSA 48 CSP : /* 0D0 */
SSA 49 CHK : /* 0D1 */
SSA 50 NEW : /* 0D2 */
SSA 51 LES : /* 0D3 */
SSA 52 LEQ : /* 0D4 */
SSA 53 GRT : /* 0D5 */
SSA 54 GE0 : /* 0D6 */
SSA 55 E0UP : /* 0D7 */
SSA 56 LCI : /* 0D8 */
SSA 57 STRP : /* 0D9 */
SSA 58 LOD : /* 0DA */
SSA 59 LDC : /* 0DB */
SSA 60 LDA : /* 0DC */
SSA 61 CUP : /* 0DD */
SSA 62 RETP : /* 0DE */
SSA 63 MST : /* 0DF */

```

図 6 SC 命令のエミュレーションルーチンの先頭番地を、U-200L のローカル・ストレージの SSA 領域に格納するための SSA 文 (MPL 200/II で記述)

Fig. 6 SSA statements (written in MPL 200/II) to store the start addresses of emulation routines for each SC instruction into the SSA (Set Start Address) area of the local storage of U-200L.

化手法の改良点、および、各種最適化手法の実効性について述べる。

#### 4.1 主記憶のアクセス時間の有効利用

一般に、 $\mu P$  制御方式の計算機では、主記憶のアクセス時間は、制御記憶のそれと比較すると、はるかに長い。そのため、主記憶のアクセス中に、他の有効なマイクロ命令 ( $\mu I$ ) を実行できれば、 $\mu P$  の実行時間の短縮が期待できる。

U-200L では、主記憶のアクセスを行うために、次の手順を必要とする。すなわち、AREQ (Access

```

/* LOAD CONTENTS OF BASE-LEVEL ADDRESS */
LDO : CALL QGET ;
      SP = SP + 8 ;
      AB = Q SHL 3 ;
      W1 = TOPS + AB ;
      W2 = SP ;
      CALL READWRITE ;
      GO TO NEXTO ;

/* STORE AT ADDRESS */
STRP : CALL QGET ;
      CALL BASEQ ;
      W1 = SP ;
      W2 = AB ;
      CALL READWRITE ;
      SP = SP - 8 ;
      GO TO NEXTO ;

/* STORE */
SRO : CALL QGET ;
      AB = Q SHL 3 ;
      W1 = SP ;
      W2 = TOPS + AB ;
      CALL READWRITE ;
      SP = SP - 8 ;
      GO TO NEXTO ;

/* LOAD ADDRESS */
LDA : CALL QGET ;
      CALL BASEQ ;
      SP = SP + 8 ;
      W1 = AB SHR 3 ;
      WRITE W1 INTO SP+2 WORD;
      GO TO NEXTO ;

```

図 7 MPL 200/II で記述した SC 命令の  
エミュレーションルーチンの例

Fig. 7 Examples of emulation routines of SC instruction (written in MPL 200/II).

Request)  $\mu I$  によって主記憶のアクセスを開始し、WAIT  $\mu I$  によって、その完了の同期をとる。したがって、この両  $\mu I$  の間に他の有効な  $\mu I$  を移動することにより  $\mu P$  の実行時間を短縮できる。ただし、次の場合には移動ができない。第 1 の場合は、リソースの競合を招く場合である。U-200L のいくつかのリソース\*は、主記憶のアクセス中に他の  $\mu I$  がこれを使用すると、リソースの競合を招く。したがって、これらのリソースを使用する  $\mu I$  は、AREQ と WAIT の両  $\mu I$  の間に移動できない。これを、リソースの競合による移動禁止条件が成立する、と呼ぶ。第 2 の場合は、 $\mu I$  の移動によって、情報の流れ (Information flow) の構造が破壊される場合である。これについては、最適化の手順中で述べる。

次に、この最適化の手順を示す。ただし、 $i$  は節 (node) に付けられた番号を示す。 $M$  は、AREQ、WAIT の両  $\mu I$  の節の間に移動された節の番号の集合を示す。また、節  $i$  の  $\mu I$  が参照または定義するリソースの集合を、それぞれ  $r_u(n_i), r_d(n_i)$  と表わす。また、ある  $\mu I$  の節の列が制御の流れ (Control flow) においてシーケンシャルであり、かつ、入口と出口を各 1 つしかもたないとき、これを基本ブロック (basic block) と呼ぶ。

(手順)

\* MB (Memory Buffer), SR (System status Register) 等。

(1) WAIT  $\mu I$  の節を含む基本ブロックにおいて、WAIT  $\mu I$  の節に続く節に、1から順次、番号付けを行う。このとき、付与された番号の最大値を  $m$  とする。

(2)  $i \leftarrow 1, M \leftarrow \phi$ .

(3) 節  $i$  で、リソースの競合による移動禁止条件が成立すれば(5)へ行く。

(4) 次の条件を調べ、そのすべてを満足するとき、節  $i$  を WAIT  $\mu I$  の節の直前に移動し、 $M$  に  $i$  を入れる。

$$\text{条件(a)} \quad r_u(n_i) \cap \left\{ \bigcup_{j=1, j \neq M}^{i-1} r_d(n_j) \right\} = \phi.$$

$$\text{条件(b)} \quad r_d(n_i) \cap \left\{ \bigcup_{j=1, j \neq M}^{i-1} r_u(n_j) \right\} = \phi.$$

$$\text{条件(c)} \quad r_d(n_i) \cap \left\{ \bigcup_{j=1, j \neq M}^{i-1} r_d(n_j) \right\} = \phi.$$

(5)  $i = m$  なら終る。

(6)  $i \leftarrow i+1, (3)$  へ行く。

WAIT  $\mu I$  の直接後行節から、節  $i$  の直接先行節までのすべての節を中間節と呼ぶことにすると、上記の条件(a)は、節  $i$  の  $\mu I$  が参照するリソースを、中間節の  $\mu I$  が定義していないことを示す。条件(b)は、節  $i$  の  $\mu I$  の定義するリソースを、中間節の  $\mu I$  が参照していないことを示す。条件(c)は、節  $i$  の  $\mu I$  の定義するリソースを、中間節の  $\mu I$  が再定義していないことを示す。

図 8 は、主記憶のアクセスを含む  $\mu P$  の例であり、図 9、図 10 は、それぞれ、従来の最適化および改良後の最適化を適用したときのオブジェクト  $\mu P$  である。図 10 の  $\mu P$  は、図 9 の  $\mu P$  と比較すると、実行時間が 6 T (70 ns/T) 減少している。

#### 4.2 最適化効果

表 1 に、命令フェッチ・フェイズの  $\mu P$  の語数と実行時間における最適化効果を示す。なお、(a)は、最適化を行わないとき、(b)は、前節の最適化を行わないとき、(c)は、すべての最適化を行ったとき、(d)は、人手による最適化を行ったとき、の各  $\mu P$  である。表 1 からわかるように、主記憶のアクセス時間の有効利用に関する最適化が、実行時間の短縮に有効に作用している。

人手による最適化は、(c)の  $\mu P$  に対して、次の 4 種類を適用した。第 1 は、前節で述べた最適化を基本ブロック外に拡張して適用する。第 2 は、リソースの競合を避けるために無条件で挿入した無効  $\mu I$  を、他

```

539      /* BOOLEAN AND */
540      ANDP : AB=SP+2;
541      SP=SP-8;
542      READ *1 WORD ;
543      READ FROM SP+2 WORD;
544      WRITE MB AND *1 WORD;
      GO TO NEXTO ;

```

図 8 主記憶のアクセスを含む  $\mu P$  の例  
(MPL 200/II で記述)

Fig. 8 An example of  $\mu P$  (written in MPL 200/II) which includes main memory access.

```

1237 ANDP      MV     GR3,AB
1238          A      C0002,AB
1239          LP    100110,ER
1240          S     ER,GR3
1241 (AREQ,INST)
1242 (WAIT)
1243          MV     MB,FW1
1244          MV     GR3,AB
1245          A      C0002,AB
1246 NOP
1247 (AREQ,INST)
1248 (WAIT)
1249          AND   Fw1,MB
1250 NOP
1251 (AREQ,W,INST)
1252          B     NEXTO
1253 (WAIT)

```

図 9 図 8 のオブジェクト  $\mu P$  (従来の最適化技法を適用)

Fig. 9 Object  $\mu P$  of Fig. 8 (old optimization technique is applied).

```

1234 ANDP      MV     GR3,AB
1235          A      C0002,AB
1236          LP    100110,ER
1237          S     ER,GR3
1238 (AREQ,INST)
1239          MV     GR3,AB
1240          A      C0002,AB
1241 (WAIT)
1242          MV     MB,FW1
1243 (AREQ,INST)
1244 (WAIT)
1245          AND   Fw1,MB
1246 NOP
1247 (AREQ,W,INST)
1248          B     NEXTO
1249 (WAIT)

```

図 10 図 8 のオブジェクト  $\mu P$  (新しい最適化技法を適用)

Fig. 10 Object  $\mu P$  of Fig. 8 (new optimization technique is applied).

表 1 PASCAL マシンの命令フェッチフェイズの  $\mu P$  に対する最適化効果

Table 1 The effect of the optimization techniques for the  $\mu P$  of the instruction fetch phase of the PASCAL machine.

size (words)				execution time (T)			
(a)	(b)	(c)	(d)	(a)	(b)	(c)	(d)
17	16	16	16	52	50	42	42

(a) : not optimized.

(b) : optimized.

(optimization for main-memory access is not executed)

(c) : optimized.

(d) : optimized by hand.

70 ns/T

の有効な  $\mu I$  で置きかえる。第 3 は、文献 13) の最適化手法を拡張して適用する\*. 第 4 は、U-200 L 特有

\* 無効  $\mu I$  を置き換える有効な  $\mu I$  の選択範囲を拡大する。

表2 PASCAL マシンのエミュレーションフェイズの  $\mu$ P に対する最適化効果  
Table 2 The effect of the optimization techniques for the  $\mu$ P of the  
emulation phase of the PASCAL machine.

(1) internal procedures.

procedure name	size (words)				execution time (T)			
	(a)	(b)	(c)	(d)	(a)	(b)	(c)	(d)
QGET	7	7	7	7	32	32	32	28
BASE	17	12	12	13	20+40P	14+34P	14+34P	12+34P
BASEQ	21	16	16	16	32+40P	24+34P	24+34P	22+34P
CMP	19	18	17	17	72	68	56	50
READWRIT	15	12	11	12	212	194	146	144

(2) emulators of SC instructions.

instruction	size (words)				execution time (T)				internal procedure (used)
	(a)	(b)	(c)	(d)	(a)	(b)	(c)	(d)	
LOD	13	12	12	12	28	24	24	24	QGET, BASEQ READWRIT
LDO	13	12	12	12	34	28	28	28	QGET, READWRIT
STR	12	10	10	10	26	22	22	22	QGET, BASEQ READWRIT
SRO	14	13	13	12	32	26	26	26	QGET, READWRIT
LDA	16	15	16	16	52	48	48	48*1	QGET, BASEQ
STO	16	15	16	16	52	48	42	42	READWRIT
(I)					52	40	40	40*1	QGET
(B)	84	66	66	63	66	54	54	54*1	QGET
(A)					76	64	64	64*1	QGET
(S)					186	152	152	152*2	QGET*4
LCA	13	12	12	12	46	40	40	40*1	QGET
MST	20	19	18	18	76	74	54	54*1	BASE
CUP	19	18	18	17	66	62	58	58	QGET
ENT	8	7	7	7	20	16	16	16	QGET
RET (F) (P)	26	22	21	21	78 72	70 70	60 60	56 56	
FJP	20	15	15	15	44 46	40	40	40	QGET
UJP	5	4	4	4	10	6	6	6	QGET

\*1.....次に実行される SC 命令の命令フェッチャフェイズの実行時間が 8T 短縮される。

\*2.....\*1 に加えて、QGET の実行時間が 8T 短縮される。

のタイミングを利用した最適化\*を行う。以上である。  
表2は、エミュレーション・フェイズにおけるいくつかの  $\mu$ P の語数と実行時間の最適化効果を示している。ここで、(1) および (2) は、それぞれ、内部手続きおよび SC 命令のエミュレータ部に関する語数と実行時間を示している。(1)において、内部手続き BASE と BASEQ の実行時間は、SC コードのオペランド P 部の値によって決定される。

\* (1)AREQ  $\mu$ I のすぐ次のステップに限り、MB の値は、AREQ  $\mu$ I 以前の値が保証されることを利用した最適化。(2)サブルーチン・リターンのための  $\mu$ P のステップ数の短縮。

表2の(2)において、LOD～LCA の各命令は、PASCAL コンパイラのオブジェクトとして比較的多く生成されるデータ転送用命令である。この場合の最適化効果は、主としてタイミングの同期用に挿入した無効  $\mu$ I の削除によるものである。また、(d)では、前節の最適化を基本ブロック外に拡張した効果が見られる。MST～RET の各命令は、関数または手続きの呼出しに関するものであるが、この場合、(b), (c)とともに、有効に最適化されている。FJP と UJP は分岐命令である。各命令の実行時間は、これに、内部手続きの実行時間を加えたものとなる。

```

VAR I : INTEGER ;
PROCEDURE HANOI(N:INTEGER; X,Y,Z:CHAR);
BEGIN
  IF N>0 THEN
    BEGIN
      HANOI(N-1,X,Z,Y);
      "WRITE('MOVE PIECE '+N:1+' FROM ',X,' TO ',Z,';',EOL);
      HANOI(N-1,Y,X,Z);
    END;
  END;
  FOR I:=1 TO 30000 DO
    HANOI(4,'A','B','C');
END.

```

(a) Example 1. Tower of HANOI.

```

VAR I,J: INTEGER ;
FUNCTION FIB(N: INTEGER): INTEGER ;
BEGIN
  IF N=0
  THEN FIB:=0
  ELSE IF N=1
  THEN FIB:=1
  ELSE FIB:=FIB(N-1)+FIB(N-2);
END;
BEGIN
  FOR I:=1 TO 23 DO
    J := FIB(I);
END.

```

(b) Example 2. Fibonacci numbers.

```

VAR I,J,K: INTEGER ;
FUNCTION ACK(M,N: INTEGER): INTEGER ;
BEGIN
  IF M=0
  THEN ACK:=N+1
  ELSE IF N=0
  THEN ACK:=ACK(M-1,1)
  ELSE ACK:=ACK(M-1,ACK(M,N-1));
END;
BEGIN
  FOR I:=0 TO 3 DO
    FOR J:=0 TO 5 DO
      K:=ACK(I,J);
END.

```

(c) Example 3. Ackerman's function.

図 11 PASCAL で書いた例題プログラム  
Fig. 11 Example programs written in PASCAL.表 3 PASCAL マシンのエミュレータの語数  
Table 3 The size (words) of the emulator of the PASCAL machine.

emulator	(a)	(b) (100(a-b)/a)	(c) (100(a-c)/a)	(d) (100(a-d)/a)
size (words)	2,573	2,094 (18.6%)	2,061 (19.9%)	2,045 (20.5%)

表 4 F 230-45 S と U-200 L のメモリサイクル時間の比較  
Table 4 The comparison of memory cycle time between F 230-45 S and U-200 L.

F 230-45 S	Main Memory	700 ns
U-200 L	Main Memory	650 ns
	Main Memory (for microprogram)	980 ns (Read) 1,120 ns (Write)
	Control Storage	140 ns

エミュレータ全体の語数の比較結果を表 3 に示す。最適化によって、約 20% の  $\mu$ I が削除された。一般に制御記憶は、主記憶に比べて容量が極めて小さいので最適化によるエミュレータの語数の縮小は有用である。

次に、SC のシミュレータ\* のエミュレータ化効果および、エミュレータの最適化効果について述べる。

図 11 は、実行時間を比較するために用いた例題プログラムである。表 4 に、45 S と U-200 L のメモリサイクル時間の比較を示す。表 5 は、実測結果である。45 S は、ハードワイヤード方式の中型計算機であり、SC のシミュレータでも、ある程度の速度が得られる。しかし、エミュレータ化によって 2.6~2.8 倍の処理速度が得られ、最適化により 3.4~3.6 倍に処理速度を向上させることができた。

また、エミュレータ (a) を最適化して得られたエミュレータ (b), (c) では、(a) に比べて、それぞれ、1.1, 1.3 倍の処理速度が得られた。表 3 と表 5 を比較すると、タイミングの同期用無効命令の削除などは、主として  $\mu$ P の語数の縮小に極めて有効であり、主記憶のアクセス時間の有効利用は、主として  $\mu$ P の実行時間の短縮に極めて有効に作用していることがわかる。こうした、各種の最適化技法の適用により、語数と実行時間のうえで、ともに、人手による最適化に近い、極めて有効な最適化効果を得ることができた。

## 5. あとがき

SC のシミュレータを  $\mu$ P 化することにより、ミニコンピュータ上のエミュレータでも中型計算機上のシミュレータを充分上回る処理効率が得られることがわ

表 5 シミュレータ、エミュレータおよび最適化されたエミュレータの実行時間の比較

Table 5 The comparison of execution time between simulator, emulator and optimized emulators.

	example 1	example 2	example 3
simulator (s)	523 sec	146 sec	34 sec
emulator (a) (s/a)	195 (2.7)	53 (2.8)	13 (2.6)
emulator (b) (s/b), (a/b)	179 (2.9), (1.1)	48 (3.0), (1.1)	12 (2.8), (1.1)
emulator (c) (s/c), (a/c)	154 (3.4), (1.3)	41 (3.6), (1.3)	10 (3.4), (1.3)
emulator (d) (s/d), (a/d)	148 (3.5), (1.3)	40 (3.7), (1.3)	9 (3.8), (1.4)

\* F 230-45 S 上にインプリメントされたもの。

かった。また、MPL 200/II を用いた結果、短期間に解読性の良い  $\mu$ P を作成することができ、高水準  $\mu$ P 記述用言語の有用性を確認することができた。また、 $\mu$ P の最適化についても、対象機種を固定し、きめ細かく最適化を行うことにより、人手による最適化に近い効率の良い  $\mu$ P を得ることができた。

なお、最適化のうち、主記憶のアクセス時間の有効利用が効果的であったのは、SC が、主記憶上に設定されたスタックの操作を基礎としていることによるとと思われる。また、最適化に要した CPU 時間は、合計約 500 秒であり、その大半は Dead アルゴリズム<sup>13)</sup>の処理に費された。

**謝辞** PASCAL (P) コンパイラとシミュレータは、東京大学で開発されたものを使用させていただいたので、ここに謝意を表します。また、本研究の機会を与えていただいた本学・情報工学科の安在弘幸助教授、および、日頃、御指導を戴く九州大学の吉田将教授に感謝します。

### 参考文献

- 1) Jensen, K. and Wirth, N.: PASCAL User Manual and Report 2nd edition, p. 167, Springer-Verlag, New York (1975).
- 2) Nori, K. V., et al.: The Pascal (P) compiler Implementation Notes, Berichte der Fachgruppe Computer-Wissenschaften, Nr. 10, ETH Zürich (1974).
- 3) 武市: Pascal コンパイラの portability について、第 16 回情報処理学会プログラミングシンポジウム報告集, pp. 90-96 (1975).
- 4) 武市, 足田, 安村: 東京大学の PASCAL コンパイラについて、情報処理学会第 16 回全国大会予稿集, pp. 123-124 (1975).
- 5) 足田: コンパイラのキットを用いた PASCAL の移植、日経エレクトロニクス, pp. 100-131 (1976. 12. 13.).
- 6) 馬場, 萩原, 藤本: マイクロプログラム記述言語 MPGL, 情報処理, Vol. 18, No. 6, pp. 558-565 (1977).
- 7) 萩原: マイクロプログラミング, p. 343, 産業図書, 東京 (1977).
- 8) 島田, 山口, 坂村: LISP マシンとその評価, 信学論(D), Vol. 59-D, No. 6, pp. 406-413 (1976).
- 9) Griss, M. L. and Swanson, M. R.: MBALM/1700: A Microprogrammed LISP Machine for the Burroughs B 1726, MICRO 10 proc., pp. 15-25 (1977).
- 10) 宮脇, 木下, 渡辺, 萩原: APL インタプリンタのファームウェア化とその効果について、情報処理学会論文誌, Vol. 20, No. 2, pp. 172-178
- 11) 馬場, 藤本, 萩原: MPG マイクロプログラムコンパイラ, 情報処理, Vol. 19, No. 1, pp. 16-25 (1978).
- 12) 松崎: 実用化の試みが始めたマイクロプログラムの最適化、日経エレクトロニクス, 第 185 号, pp. 76-91 (1978).
- 13) 重松, 有川, 安在: マイクロプログラミング言語 MPL 200 とその最適化技法、情報処理, Vol. 19, No. 8, pp. 749-757 (1978).
- 14) 重松, 飯野, 安在: マイクロプログラミング言語 MPL 200/II, 九州工業大学研究報告(工学), No. 37, pp. 115-122 (1978).
- 15) 重松, 阿南: MPL 200/II による PASCAL マシンの記述について、情報処理学会・計算機アーキテクチャ研究会資料 32-2 (1978).
- 16) 重松, 飯野, 安在: MPL 200/II Recursive Descent Compiler とその簡単なコンパイラ記述用語、情報処理学会論文誌, Vol. 20, No. 4, pp. 346-354 (1979).
- 17) 有川, 重松, 安在: マイクロプログラムの最適化について、電気四学会九州支部大会論文集, pp. 334 (1978).
- 18) 馬場: ファームウェア工学、情報処理, Vol. 20, No. 7, pp. 622-646 (1979).
- 19) 十山, 柴山, 富田, 萩原: QA-1 による Pascal 用スタック計算機のエミュレーション、情報処理学会第 20 回全国大会論文集, pp. 25-26 (1979).

## 付 錄

```

115      /* INSTRUCTION FETCH PHASE */
116      NEXT0 : IC = IC + 2;
117      NEXT : READ OPR FROM IC WORD ;
118      #1=KEY1;
119      #1=w1 AND X'00FO';
120      IF #1=STEP THEN
121          BEGIN /* DISPLAY PANEL OPERATION PHASE */
122              LOOP
123                  S#=0;
124                  REPEAT
125                      W2=SR AND START;
126                      UNTIL W2=START;
127                      #1=KEY1;
128                      #1=w1 AND X'00FO';
129                      #2=0;
130                      IF #1=STEP THEN W2=1; FI
131                      IF #1=NORMAL THEN W2=1; FI
132                      EXIT IF W2=1; /* STEP OR NORMAL MODE */
133                      #2=KEY1;
134                      #2=w2 AND X'00OF';
135                      CASE #1 OF
136                          /* DISPLAY MODE */
137                          X'005C': IF #2&8 THEN
138                              BEGIN
139                                  OPR=w2;
140                                  W2=GRS;
141                                  OPR=w2;
142                                  END ELSE
143                                      CASE #2 OF
144                                          8: OPR=ADR;
145                                          9: READ OPR WORD;
146                                          10: OPR=STR;
147                                          11: OPR=IRC;
148                                          12: OPR=FR0;
149                                          13: OPR=FR1;
150                                          14: OPR=FR2;
151                                          15: OPR=FR3;
152                                      ESAC
153                                      FI
154                                      /* STORE MODE */
155                                      X'0060': IF W2<8 THEN
156                                          BEGIN
157                                              OPR=w2;
158                                              GRS=ENT;
159                                              END ELSE
160                                              CASE W2 OF
161                                                  8: ADR=ENT;
162                                                  9: WRITE ENT WORD;
163                                                  10: STR=ENT;
164                                                  11: IRC=ENT;
165                                                  12: FR0=ENT;
166                                                  13: FR1=ENT;
167                                                  14: FR2=ENT;
168                                                  15: FR3=ENT;
169                                              ESAC
170                                              FI
171                                              ELSE: ;
172                                              ESAC
173                                              POOL
174                                              READ OPR FROM IC WORD;
175                                              END
176                                              FI
177                                              CT = OPR;
178                                              P = CT; /* GET OPRHAND P */
179                                              SET SA EX; /* FUNCTIONAL BRANCH */
180

```

MPL 200/II で記述した PASCAL マシンの命令フェッ  
チ・フェイズとディスプレイパネル・オペレーション。  
フェイズの μP

The μP (written in MPL 200/II) for the instruction  
fetch phase and the display panel operation phase  
of the PASCAL machine.

(昭和 54 年 4 月 23 日受付)

(昭和 54 年 12 月 20 日採録)